

# อภินันทนาการ



## รายงานการวิจัย

การเพิ่มความคงตัวและควบคุมการปลดปล่อยวิตามินเอ

Stability improvement and controlled release of all-trans  
retinoic acid for topical delivery.

โดย

รองศาสตราจารย์ ดร.เนติ วรรณชัย<sup>1</sup>  
คณะเภสัชศาสตร์ มหาวิทยาลัยนเรศวร

พฤษภาคม 2552

สำนักหอสมุด มหาวิทยาลัยนเรศวร
วันลงทะเบียน..... - 5 JUL 2011 .....
เลขทะเบียน..... 15663854 .....
เลขเรียกหนังสือ..... 2 GP .....
222
N5
๖๗๘๖๕
๒๕๕๒

ได้รับทุนอุดหนุนการวิจัยจากบประมาณแผ่นดินปี 2552

มหาวิทยาลัยนเรศวร

## กิตติกรรมประกาศ

คณะผู้วิจัยขอขอบคุณผู้บริหาร อาจารย์ นิสิตและเจ้าหน้าที่คณะเภสัชศาสตร์ มหาวิทยาลัย  
นเรศวร และศูนย์วิจัยเครื่องสำอางและผลิตภัณฑ์ธรรมชาติ คณะเภสัชศาสตร์ มหาวิทยาลัยนเรศวรที่  
ให้ความช่วยเหลือและเอื้อเพื่อสถานที่ในการดำเนินการวิจัยงานสำเร็จลุล่วง โดยเฉพาะอย่างยิ่ง นางสาว  
อังคณา วิชิต นิสิตปริญญาเอก ที่ช่วยให้โครงการนี้สำเร็จลงด้วยดี

โครงการวิจัยนี้ได้รับทุนอุดหนุนการวิจัยจากบประมาณแผ่นดิน มหาวิทยาลัยนเรศวร ปี  
2552 จึงขอขอบคุณไว้ ณ ที่นี้ด้วย



## บทคัดย่อ

วัตถุประสงค์การวิจัยครั้งนี้ ผู้เรียนศึกษาเพิ่มความคงตัวและความคงทนของการปลดปล่อยอนุพันธ์ วิตามินอ่อนนิรเตติโนอิกเอชิด ด้วยการบรรจุเรติโนอิกเอชิดในอนุภาคไมเซลลาร์นิคโพลีเอทิลีน ไกลคอล เชื่อมต่อกับอนุพันธ์กรดไขมันชนิดต่างๆ (PEG-PE polymeric micelles) ใน การศึกษารั้งนี้ พบว่าค่าความเข้มข้นวิกฤต (critical micelle concentration) ของ PEG-PE ชนิดต่างๆ มีค่าระหว่าง 97 – 243  $\mu\text{M}$  ขึ้นอยู่กับโครงสร้างของส่วนที่ละลายน้ำ (PEG fragment) กับส่วนที่ไม่ละลายน้ำ (PE fragment) เมื่อศึกษาคุณลักษณะต่างๆ ของเรติโนอิกเอชิดในอนุภาคไมเซลล์ PEG-PE พบว่า อนุภาคไมเซลลาร์นิค PEG<sub>750</sub>-DPPE มีประสิทธิภาพในการบรรจุเรติโนอิกเอชิดมากที่สุดถึง 82% และให้อนุภาคทรงกลมขนาดไม่เกิน 10 nm เมื่อศึกษาความคงตัวของเรติโนอิกเอชิดที่บรรจุในอนุภาคไมเซลล์ดังกล่าว พบว่า แสงขั้นเป็นปัจจัยหลักต่อการสลายตัวของเรติโนอิกเอชิด ที่นำสนิมคือ อนุภาคไมเซลล์ PEG<sub>750</sub>-DPPE สามารถลดการสลายตัวของเรติโนอิกเอชิดได้อย่างมีนัยสำคัญเมื่อถูกเก็บภายในสภาวะที่เต็มไปด้วยก๊าซออกซิเจนและปราศจากแสง อีกทั้ง เมื่อเก็บสารละลายไมเซลล์ของเรติโนอิกเอชิดดังกล่าวในสภาวะห้องและไม่มีแสงเป็นเวลา 28 วัน จากการทดสอบพบว่ามีปริมาณเรติโนอิกเอชิดคงเหลืออยู่ในสารละลายไมเซลล์ถึง 86% ในขณะที่ปริมาณเรติโนอิกเอชิดคงเหลืออยู่ในสารละลายควบคุม 43% นอกจากนี้ ผลการทดสอบความสามารถในการปลดปล่อยเรติโนอิกเอชิดในอนุภาค PEG<sub>750</sub>-DPPE บนผิวนัง ด้วยวิธี Franz diffusion cell ในสภาวะ non-occlusion อันเป็นสภาวะจริงของการใช้ พบว่า ที่เวลา 8 ชั่วโมงของการทดลองสามารถถอนสารเควายที่เจือเรติโนอิกเอชิดในชั้นผิวต่างๆ 6% และ receiving solution 16% ตามลำดับ ในขณะที่ 3% และ 11% ของปริมาณเรติโนอิกเอชิดในสารละลายควบคุมสามารถถอนสารเควายที่พบในชั้นผิวและ receiving solution ตามลำดับ จากการทดสอบครั้งนี้สามารถสรุปได้ว่า การบรรจุเรติโนอิกเอชิดลงในอนุภาคไมเซลลาร์นิค PEG<sub>750</sub>-DPPE สามารถเพิ่มความคงตัวทางเคมีตลอดจนเพิ่มการปลดปล่อยลงสู่ชั้นผิวได้อย่างมีประสิทธิภาพ

## **Abstract**

The objective of this study is to increase stability and control release of all-*trans* retinoic acid (ATRA) by entrapped in polyethylene glycol conjugated phosphatidylethanolamine (PEG-PE polymeric micelles). Critical micelle concentrations of various PEG-PE types were about 97 – 243  $\mu\text{M}$  depending on structures of both hydrophilic fragment and hydrophobic fragment. The study indicated that PEG<sub>750</sub>-DPPE polymeric micelles gave highest ATRA entrapment of about 82% comparing to other types. A spherical shape was obtained with diameter size less than 10 nm. The results of chemical stability test indicated that an irradiation was a major factor to ATRA degradation. Interestingly, PEG<sub>750</sub>-DPPE polymeric micelles could significant retard ATRA degradation under oxygen flux without light exposure. Moreover, ATRA in PEG<sub>750</sub>-DPPE polymeric micelles was remained about 86% of initial content for 28 days under ambient condition. In contrary, ATRA in 75% methanol / HBS solution was remained about 43%. Furthermore, a study of skin permeation on human foreskin in non-occlusive condition was investigated *in vitro* by Franz diffusion method. At 8 hr of incubation, this result found that the amount of ATRA was accumulated in several skin layers about 6% and released in receiving solution about 16% when the micelles formulation was applied. However, there were only about 3% and 11% of the amount ATRA found in the skin layers and the receiving solution when a normal solution was used. Thus, ATRA in PEG<sub>750</sub>-DPPE polymeric micelles was successfully retard degradation and effectively control release through the skin.

## สารบัญเรื่อง

	หน้า
กิตติกรรมประกาศ	i
บทคัดย่อ	ii
Abstract	iii
สารบัญเรื่อง	iv
สารบัญตาราง	v
สารบัญรูป	vi
บทนำ	1
อุปกรณ์และวิธีดำเนินการวิจัย	3
ผลการทดลองและอภิปรายผล	10
สรุปผลการทดลอง	25
เอกสารอ้างอิง	25



## สารบัญตาราง

	หน้า
ตารางที่ 1 แสดงค่า CMC ของสาร PEG-PE ชนิดต่างๆ จากการละลายที่เพิ่มขึ้นของ เรติโนอิกอีดิค ( $n=3$ )	12
ตารางที่ 2 แสดงขนาดอนุภาคไม่เซลลากสาร PEG-PE ที่มีและไม่มีเรติโนอิกอีดิค ( $n=3$ , mean $\pm$ SD)	14
ตารางที่ 3 แสดงการกระจายของอนุภาคไม่เซลลากสาร PEG-PE ที่มีและไม่มีเรติโน อิกอีดิค ( $n=3$ , mean $\pm$ SD)	15
ตารางที่ 4 แสดงค่าประจุนพิวอนุภาคไม่เซลลของสาร PEG-PE ชนิดต่างๆ ( $n = 3$ , mean $\pm$ SD)	15



## สารบัญรูป

	หน้า
<b>รูปที่ 1 สูตรโครงสร้างของอนุพันธ์วิตามินอี 1= เรตินอล (retinol), 2= เรตินิลเอสเทอร์ (retinyl ester), 3= เรตโนอิก อีด (retinoic acid), 4= เรตินอยด์ (retinoid)</b>	<b>1</b>
<b>รูปที่ 2 แสดงวิธีการคำนวณหาค่า CMC ของสาร PEG-PE ด้วยการวัดความเข้มของสารฟลูออเรสเซนต์ที่เพิ่มขึ้น เช่น สาร pyrene เมื่อสารละลายน้ำมีความเข้มข้นเพิ่มขึ้นไปใกล้บริเวณ CMC</b>	<b>11</b>
<b>รูปที่ 3 ประสิทธิภาพในการบรรจุเรตโนอิกอีดในสาร PEG-PE ชนิดต่างๆ เมื่อปริมาณเรตโนอิกอีดเริ่มต้นเท่ากับ 2, 5, 10 <math>\mu\text{g}</math> (<math>n=3</math>, mean <math>\pm</math> S.E.)</b>	<b>13</b>
<b>รูปที่ 4 แสดงอนุภาคไมเมเซลที่ได้จากการ PEG<sub>750</sub>-DPPE ที่ไม่ได้บรรจุเรตโนอิกอีดไว้ภายใน (กำลังขยาย 150,000 เท่า)</b>	<b>16</b>
<b>รูปที่ 5 แสดงเปอร์เซนต์คงอยู่ของเรตโนอิกอีดในอนุภาคไมเมเซล (◆) และในสารละลายน้ำนม (■) ภายใต้สภาวะที่โคนแห้งเป็นเวลา 12 ชั่วโมง</b>	<b>17</b>
<b>รูปที่ 6 แสดงเปอร์เซนต์คงอยู่ของเรตโนอิกอีดในสารละลายน้ำมีเซล (เส้นทึบ, solid line) และในสารละลายน้ำ 75% methanol in HBS (เส้นประ, dot line) เมื่อถูกเก็บภายใต้สภาวะต่างๆ ที่อุณหภูมิห้องและไม่โคนแห้ง</b>	<b>18</b>
<b>รูปที่ 7 แสดงเปอร์เซนต์คงอยู่ของเรตโนอิกอีดในสารละลายน้ำมีเซล (เส้นทึบ, solid line) และในสารละลายน้ำ 75% methanol in HBS (เส้นประ, dot line) เมื่อถูกเก็บในสภาวะห้องและไม่โคนแห้ง</b>	<b>19</b>
<b>รูปที่ 8 แสดงผลการยับยั้งการทำงานของเอนไซม์ภายใน foreskin ด้วยสารละลายน้ำ sodium azide ที่ความเข้มข้นต่างๆ (<math>n=3</math>, mean <math>\pm</math> S.E.)</b>	<b>20</b>
<b>รูปที่ 9 แสดงเปอร์เซนต์การสะสมของเรตโนอิกอีดที่ถูกปลดปล่อยจากอนุภาคโพลีเอทิลีน ไอกลคอลเชื่อมต่อ กับอนุพันธ์ของกรดไขมันชนิด PEG<sub>750</sub>-DPPE แพร่ผ่านผิว foreskin (<math>n=4</math>, mean <math>\pm</math> S.E.)</b>	<b>21</b>
<b>รูปที่ 10 เปอร์เซนต์การคงเหลือของเรตโนอิกอีดในส่วนต่างๆ หลังการทดสอบ 8 ชั่วโมงบนผิว foreskin (<math>n=4</math>, mean <math>\pm</math> S.E.)</b>	<b>22</b>
<b>รูปที่ 11 สารละลายน้ำมีเซลผสมกับสารละลายน้ำอัลจิเนตที่มีการเติมสีน้ำเงิน (ข้ามมือ) และแคปซูลขนาดเล็กของแคลเซียมอัลจิเนตที่ภายในมีสารละลายน้ำมีเซลกระจายตัวอยู่ในชิลิโคน (ขวามือ)</b>	<b>23</b>
<b>รูปที่ 12 แคปซูลขนาดเล็กของแคลเซียมอัลจิเนตที่ภายในบรรจุสารละลายน้ำมีเซลที่ข้อมูลด้วยสีน้ำเงิน (กำลังขยาย 10 เท่า)</b>	<b>24</b>

## สารบัญรูป

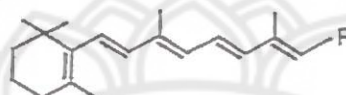
	หน้า
รูปที่ 13 แคปชูลขนาดเด็กของแคลเซียมอัลจิเนตที่ภายในบรรจุสารละลายไม่เชล	24
รูปที่ 14 แคปชูลขนาดเด็กของแคลเซียมอัลจิเนตที่ภายในบรรจุสารละลายไม่เชล (กำลังขยาย 10 เท่า)	24



## บทนำ

### 1. และ 2. ความสำคัญและที่มาของปัจจัยและการพนทวนเอกสารที่เกี่ยวข้อง

อนุพันธ์ของวิตามินเอมีหลาຍชนิดขึ้นอยู่กับหมู่สำคัญ (functional group) ที่ต่อเข้ากับโครงสร้าง อาทิเช่น เรตินอล (retinol), เรตินילอสเตอโร (retinyl ester), เรติโนอิก อีซิค (retinoic acid), และเรตินอยล์ (retinoid or retinal) วิตามินเอที่พบในธรรมชาติส่วนใหญ่มีโครงสร้างแบบ all-trans ซึ่งทำให้สารจะมีความคงตัวมากที่สุด ดังแสดงในรูปที่ 1



- 1 : R = -CH<sub>2</sub>OH  
2 : R = -CH<sub>2</sub>OOCOC<sub>17</sub>H<sub>35</sub>  
3 : R = -COOH  
4 : R = -CHO

รูปที่ 1 สูตรโครงสร้างของอนุพันธ์วิตามินเอ 1= เรตินอล (retinol), 2= เรตินילอสเตอโร (retinyl ester), 3= เรติโนอิก อีซิค (retinoic acid), 4= เรตินอยล์ (retinoid)

วิตามินเอและอนุพันธ์ของวิตามินเอ มีความสามารถในการควบคุมการเจริญเติบโตและการแบ่งตัวของเซลล์ผิว (regulation of proliferation and differentiation of epithelial cells) ในทางการแพทย์ อนุพันธ์ของวิตามินเอถูกนำมาใช้ในการรักษาโรคทางผิวหนังบางชนิดอย่างแพร่หลาย เช่น เร่งการผลัดเซลล์ผิวของผู้ป่วยที่มีปัจจัยทำให้มีเกรียมอันเนื่องจากการโดนแสงแดด (photodamaged skin) หรือใช้ชลลอการเกิดริ้วรอยบนผิวด้วยการเร่งการผลัดเซลล์ผิวพร้อมกระตุ้นการสร้างเซลล์ผิวใหม่ และใช้ในการรักษาสิวโดยเฉพาะอย่างยิ่งอนุพันธ์วิตามินเอที่อยู่ในรูปเรติโนอิกอีซิค อย่างไรก็ตาม เรติโนอิกอีซิค มีความไม่คงตัวสูงเมื่ออุกกาศ ความร้อน การเกิดออกซิเดชัน นอกจากนี้ เรติโนอิกอีซิค มีความสามารถในการซึมผ่านเข้าสู่ผิวหนังต่ำมาก (partition coefficient; log P<sub>o/w</sub> = 6.7) และก่อให้เกิดผลข้างเคียงเมื่อนำมาทานผิวโดยตรง อาทิเช่น เกิดผื่นแดง ผิวหนังแห้งและคัน เป็นต้น การใช้เทคโนโลยีทางเภสัชกรรมเกี่ยวกับระบบการนำส่งสารสำคัญ จึงมีบทบาทสำคัญในการเพิ่มประสิทธิภาพการนำส่งสารสำคัญสู่วัยระเป้าหมาย (target site) อีกทั้งสามารถควบคุมการปลดปล่อยสารสำคัญอย่างต่อเนื่อง ระบบการนำส่งสารสำคัญในทางเภสัชกรรมมีหลาຍรูปแบบ เช่น การเตรียมเป็นไลโปโซม (liposome), ไนโอโซม (niosome), ไมเซลล์ (micelle), ไมโครสเฟียร์ (microsphere), ไมโครแคปซูล (microcapsule) เป็นต้น

ในงานวิจัยนี้มุ่งเน้นการนำประโภชน์ของการเกิดไมเซลล์จากโพลิเมอร์ (polymeric micelle) ชนิดโพลีเอทิลีน ไกลคอลที่เชื่อมต่อ กับอนุพันธ์ชนิดต่างๆ ของกรดไขมันมาใช้ในการกักเก็บเรติโน อิกอเจชซิงถือเป็นการกักเก็บชั้นแรก จากนั้นไมเซลที่มีเรติโนอิกอเจชจะถูกเคลือบด้วยแคลเซียม อัลจิเนตด้วยการสร้างเป็นแคปซูลขนาดเล็ก (nanocapsule) การกักเก็บเรติโนอิกอเจชไว้ในโพลิ เมอร์สองชั้นนี้ อาจมีประโภชน์ในด้านช่วยเพิ่มความคงตัวของเรติโนอิกอเจชจากการทำปฏิกิริยา กับออกซิเจนจากอากาศออก อีกทั้งยังเป็นการควบคุมการปลดปล่อยเรติโนอิกอเจชได้อย่างมี ประสิทธิภาพมากยิ่งขึ้น

### 3. วัตถุประสงค์ของโครงการ

- ศึกษาความคงตัวทางเคมีและกายภาพของเรติโนอิกอเจชในอนุภาคไมเซลล์ของโพลิเมอร์ชนิดโพลีเอทิลีน ไกลคอลเชื่อมต่อ กับอนุพันธ์ชนิดต่างๆ ของกรดไขมัน
- ศึกษาการปลดปล่อยเรติโนอิกอเจชจากการกักเก็บในอนุภาคของโพลิเมอร์ชนิดโพลีเอทิลีน ไกลคอลเชื่อมต่อ กับอนุพันธ์ชนิดต่างๆ ของกรดไขมัน

## อุปกรณ์และวิธีดำเนินการวิจัย

### สารเคมี:

1. สารโพลีเอทิลีน ไกลคอลเชื่อมต่อกับอนุพันธ์กรดไขมันชนิดต่างๆ (Polyethylene glycol conjugated phosphatidylethanolamine) ประกอบด้วย

1.1 PEG<sub>5000</sub>-DPPE หรือ polyethylene glycol MW 5000 Daltons conjugated dipalmitoyl phosphatidylethanolamine (C16:0)

1.2 PEG<sub>750</sub>-DMPE หรือ polyethylene glycol MW 750 Daltons conjugated dimyristoyl phosphatidylethanolamine (C14:0)

1.3 PEG<sub>750</sub>-DPPE หรือ polyethylene glycol MW 750 Daltons conjugated dipalmitoyl phosphatidylethanolamine (C16:0)

1.4 PEG<sub>750</sub>-DSPE หรือ polyethylene glycol MW 750 Daltons conjugated distearoyl phosphatidylethanolamine (C18:0)

1.5 PEG<sub>750</sub>-DOPE หรือ polyethylene glycol MW 750 Daltons conjugated dioleoyl phosphatidylethanolamine (C18:1)

สารข้างต้นนี้สั่งซื้อจากบริษัท Avanti polar lipids, Inc. (Alabaster, AL, USA)

2. all-trans retinoic acid จากบริษัท Sigma-Aldrich

3. HEPES จากบริษัท Sigma-Aldrich

4. Sodium chloride จากบริษัท Sigma-Aldrich

5. Chloroform จากบริษัท Lab-Scan

6. Acetonitrile (HPLC grade) จากบริษัท Lab-Scan

7. Ammonium acetate จากบริษัท Sigma-Aldrich

8. Methanol (HPLC และ analytical grades) จากบริษัท Lab-Scan

9. Ethanol (analytical grade)

10. Sodium azide

11. Deionized water

12. Silicone DC 345

13. Sodium alginate

14. Calcium chloride

11. Deionized water

12. Silicone DC 345

13. Sodium alginate

14. Calcium chloride

**อุปกรณ์:**

1. Phenomenex C<sub>18</sub> column รุ่น Gemini

2. Round bottom ปริมาตร 100 ml

3. Nylon membrane filter มีรูพรุนขนาด 0.45 μm เส้นผ่าศูนย์กลาง 1 และ 3 cm

4. Cellulose acetate membrane filter มีรูพรุนขนาด 0.2 μm เส้นผ่าศูนย์กลาง 1 นิ้ว

5. Syringe ขนาด 1 และ 5 ml

6. Auto-sample containers set ประกอบด้วย insert glass ปริมาตร 300 μl, vial container ปริมาตร 1.5 ml, septa และ screw cap

7. Beakers

8. Volumetric flasks

9. Eppendorf ปริมาตร 1.2 ml

10. Glass containers with cap

11. Thermometer

12. Aluminum foil

13. Parafilm

14. Pipette และ tips ขนาดต่างๆ

15. Transparency cuvette

16. ชุด Franz diffusion cell ประกอบด้วย donor compartment, receiving compartment, clamp, แผ่นอะคิลิกใสที่เจาะรูวงกลมเส้นผ่านศูนย์กลาง 0.8 cm (มีพื้นที่สำหรับการแพร์ฟ์ผ่านเท่ากับ 0.5 cm<sup>2</sup>) และชุดเก็บตัวอย่างสารละลายน้ำ

17. Magnetic bar

18. Vertical diffusion cell ที่ต่อ กับ thermostat

## วิธีดำเนินการวิจัย

### ขั้นตอนการทำงานวิจัย

#### 1. การวิเคราะห์ปริมาณ-retinoic acid ในอิเกอชิดด้วยวิธี HPLC

เมื่อ all-trans retinoic acid หรือ retinoic acid ในอิเกอชิดถูกแสงหรือทำปฏิกิริยากับสารอีกชนิดหนึ่งจะถูกเปลี่ยนเป็นอนุพันธ์ของมันในรูปต่างๆ ดังนั้นการวิเคราะห์หาปริมาณ-retinoic acid ในอิเกอชิด จึงมีความสำคัญเป็นอย่างยิ่งในการบ่งชี้ถึงประสิทธิภาพการออกฤทธิ์ที่บังคับอยู่ของretinoic acid

#### 2. การเตรียมอนุภาคไมเซลล์ด้วยโพลิเมอร์ชนิดโพลีเอทิลีน ไกลคอลเชื่อมต่อ กับอนุพันธ์ของกรดไขมันชนิดต่างๆ ที่ภายในบรรจุด้วยretinoic acid

ก่อนทำการเตรียมretinoic acid ลงในอนุภาคไมเซลล์ ต้องรู้ความเข้มข้นวิกฤต (critical micelle concentration หรือ CMC) ของสารโพลีเอทิลีน ไกลคอลเชื่อมต่อ กับกรดไขมันชนิดต่างๆ ซึ่งเป็นคุณสมบัติทางเคมีภysis ที่สำคัญและจำเพาะของสารแต่ละชนิด โดยมีขั้นตอนการทดลองดังนี้

- นำสาร PEG-PE มาละลายด้วย chloroform ในขวดก้นกลม
- จากนั้นนำสารละลายดังกล่าวไประเหยตัวท่าละลายออกด้วยเครื่อง evaporator ที่อุณหภูมิ 45-50 °C เป็นเวลา 10 นาที
- เมื่อตัวท่าละลายระเหยออกจะได้เป็นแผ่นฟิล์มนางๆ กระจายอยู่ที่ก้นขวด ทำการละลายแผ่นฟิล์มด้วยการเติมและเบี่ยงกับสารละลายน้ำ HBS (HEPES buffer saline, pH 7.4) จนกระทั่งได้สารละลาย PEG-PE in HBS ที่มีความเข้มข้น 5 mM
- นำสารละลาย PEG-PE มาเตรียมให้เจือจางด้วย HBS โดยให้มีความเข้มข้นของสารละลาย PEG-PE อยู่ระหว่าง  $10^{-4}$  ถึง  $10^{-6}$  M
- เติม retinoic acid ปริมาณที่เท่ากันลงในแต่ละความเข้มข้นของสารละลาย PEG-PE จากนั้นนำสารละลายผสมดังกล่าวไปเขย่าด้วยเครื่องเขย่าที่อุณหภูมิห้องเป็นเวลา 36 ชั่วโมง โดยทำการทดสอบในสภาวะที่ป้องกันแสงด้วย aluminum foil
- เมื่อครบเวลา 36 ชั่วโมง กรองตะกอน retinoic acid ที่ไม่ละลายออกจากสารละลาย PEG-PE ด้วย 0.45 μm nylon membrane filter จากนั้นวิเคราะห์หาความเข้มข้นของretinoic acid ที่ละลายอยู่ในสารละลาย PEG-PE ณ ความเข้มข้นต่างๆ ด้วยวิธี HPLC (ดังแสดงในข้างต้น) เปรียบเทียบกับสารละลายควบคุมที่มี retinoic acid แต่ไม่มีสาร PEG-PE

เมื่อรักษา CMC ของสาร PEG-PE ชนิดต่างๆ จากข้างด้านเรียบร้อยแล้ว จึงทำการเตรียมอนุภาคไม่เซลล์ที่ภายในบรรจุเรติโนอิกอีชิดคั่วขึ้นวิธีการระเหยตัวทำละลาย (solvent evaporation) ซึ่งมีวิธีการเตรียมเช่นเดียวกับวิธีการหาค่า CMC ดังที่กล่าวในข้างต้น โดยชั้งปริมาณสาร PEG-PE เท่ากับปริมาณที่สามารถเกิดอนุภาคไม่เซลล์ได้

### 3. ศึกษาคุณลักษณะของไม้เซลล์ที่มีเรติโนอิคเอชิด

ทำการศึกษาคุณลักษณะต่างๆ ของไมเซลที่มีและไม่มีเรติโนอิกเอชิด เช่น ความสามารถในการบรรจุเรติโนอิกเอชิดในอนุภาค ไมเซลจากสาร PEG-PE ชนิดต่างๆ, การวัดขนาดอนุภาค, การวัดประจำนอนภาค และรูปร่างของอนุภาคไมเซล ซึ่งมีรายละเอียดการทดลองดังต่อไปนี้

### 3.1 การหา % entrapment efficiency ของรต็โนอิกาเซชิดในอนาคตไม่เชลต์

มีวิธีการเตรียมเช่นเดียวกับการหาค่า CMC ของสาร PEG-PE ดังที่กล่าวในข้างต้น กล่าวคือ นำสารละลาย PEG-PE ผสมให้กันกับสารละลายเรติโนอิกแอซิด(ที่ใช้ปริมาณเริ่มต้น 2, 5, 10  $\mu\text{g}$ ) ละลายก่อนนำไปรับประทานเพื่อทำให้เกิดฟิล์มของสาร PEG-PE กับเรติโนอิกแอซิด

- ทำการวิเคราะห์ความเข้มข้นของรติโนอิกอีซิดที่ละลายอยู่ในสารละลาย PEG-PE ด้วยวิธี HPLC พร้อมคำนวณ % entrapment efficiency จากสมการ

% entrapment efficiency =  $\frac{\text{ปริมาณอิกอีดิที่วิเคราะห์ได้ในสารละลาย PEG-PE}}{\text{ความเข้มข้นรติโนอิกอีดิครึ่มตัน}} \times 100$

### 3.2 การวัดขนาดและการกระจายตัวของอนภาคไมโครจากการ PEG-PE ชนิดค่างๆ

- เทสารละลายน้ำมันเชลไส์ใน transparency cuvette ปริมาตรอย่างน้อย 1 ml
  - นำสารละลายน้ำมันเชลไส์ที่หานาดของอนุภาคไม้มีเซลล์วายเครื่อง BIC Particle (Brookhaven instrument, Holtsville, NY)

### 3.3 การวัดประจุอนุภาคไม่เซลล์ของสาร PEG-PE ชนิดต่างๆ

- เทสารละลายนีเชลใส่ใน transparency cuvette ปริมาตร 1 ml
  - นำสารละลายนีเชลด้วยเครื่อง Zeta Potential Analyzer (Brookhaven instrument, Holtsville, NY)

### 3.4 การวิเคราะห์รูป่างของอนภาคไมเซลลาร์ PEG-PE

การศึกษานี้เป็นการวิเคราะห์รูปทรงของอนุภาคไมโครเซลที่ได้จากสาร PEG-PE ด้วยเครื่อง Transmission electron microscopy ซึ่งมีขั้นตอนการเตรียมตัวอย่างคร่าวๆ ก่อนนำไปส่องด้วยกล้องกำลังขยายสูง ดังนี้

- นำสารละลายนิเชลหยอดบน copper grid ในปริมาณเล็กน้อย จากนั้นตั้งทึ่งไว้ให้สารละลายนิเชลแห้งที่อุณหภูมิห้อง ระหว่างที่ตั้งทึ่งไว้ ทำการซับสารละลายน้ำที่เกินออกด้วยทิชชูโดยการค่อยๆ ซับออกจากบริเวณขอบของ copper grid เพียงเบาๆ
  - นำสารละลายนิเชลที่แห้งเรียบร้อยแล้วบน copper grid วางบนที่ตั้งของเครื่อง Transmission electron microscopy และทำการบันทึกภาพนากที่ได้

4. ศึกษาความคงตัวทางเคมีของเรตินอิอกโซชิดในไมเซลล์ที่ได้จากโพลีเอทิลีนไนกลอตเจื่อนต่อ กับอนพันธุ์ของกรดไขมัน

ทำการคัดเลือกสาร PEG-PE ที่ให้ความสามารถในการกักเก็บเรตินอิโคเอชิดได้สูงสุด  
นำมาศึกษาความคงตัวดังต่อไปนี้

#### 4.1 ผลของแสง

ศึกษาผลของแสงที่มีต่อเรติโนอิกอเอชิดที่บรรจุในอนุภาคไมเมเซล เทียบกับสารละลายเรติโนอิกอเอชิดที่ไมได้บรรจุในอนุภาคไมเมเซล (สารละลายควบคุม) ซึ่งมีขั้นตอนการทดสอบดังนี้

- เตรียมรติโนอิกເອົືດໃນອຸປະກອນໄມ້ເສລແລະສາຮລາຍຄວບຄຸນ ຈາກນັ້ນທຳການຫາຄວາມເໝັ້ນຂຶ້ນຂອງຮຕີໂນອົກເອົືດໃນສາຮລາຍທີ່ສອງໜິດດ້ວຍວິທີ HPLC
  - ນຳສາຮລາຍທີ່ສອງໜິດນົບຮຽງໃນຂວດແກ້ວ ຈາກນັ້ນນຳສາຮລາຍທີ່ສອງໜິດເກີນໄວ້ໃນສກວະທີ່ໂດນແສງຈາກຫລອດຟລູອອເຣສເຊັນຕໍ່ໂດຍວາງໃຫ້ໜ່າງຈາກຫລອດຟລູອອເຣສເຊັນຕໍ່ເປັນຮະບະປະມານ 1-1.5 ແຕ່

4 ? မျက်ချောင်း

การทดลองนี้ ทำการศึกษาผลของสารอีกซิเดนซ์ที่มีต่อการสลายตัวของเรติโนอิกแอซิดในอนุภาคไมเซลล์ โดยทำการออกแบบการทดลองปฏิกริยาอีกซิเดชัน ด้วยการบรรจุก๊าซอีกซิเดนลงในสารละลายน้ำเรติโนอิกแอซิดในอนุภาคไมเซลล์ เปรียบเทียบกับผลของสภาวะที่ไม่มีอีกซิเดน ด้วยการบรรจุก๊าชในโตรเจน และเทียบกับสภาวะห้อง มีขั้นตอนการทดลองดังนี้

- ทำการเติร์บิมเรติโนอิกເອົມໃນອນຸກາມໄມ່ເໜລແລະສາຮລະລາຍເຣຕິໂນອົກເອົມທີ່ໄມ້ມີອນຸກາມໄມ່ເໜລ ພວ້ມທັງໝາຍເນັ້ນຂຶ້ນຂອງເຣຕິໂນອົກເອົມໃນສາຮລະລາຍທັງສອງໜີດດ້ວຍວິທີ HPLC ຈາກນີ້ ນຳສາຮລະລາຍທັງສອງໜີດແບ່ງໄສ່ນຽງກັນທີ່ທີ່ແສງອໍຍ່າງລະ 3 ຂວດໃນປັບປຸງພາບທີ່ເທົ່າກັນ

- นำสาระลายไม้เชลและสาระลายควบคุมอย่างละ 1 ชุด ใส่ลงในภาชนะปิดที่ภายในอิมตัวไปด้วยก้าชอกซิเจน ทำการพ่นก้าชอกซิเจนลงในสาระลายอีกครึ่งก่อนปิดผนึกด้วยกุญแจ จากนั้น พันรอบจุกอีกครึ่งด้วยพาราฟิล์ม โดยขั้นตอนการเตรียมถูกทำในสภาวะที่ไม่โคนแห้ง

- สำหรับสภาวะควบคุมหรือการบรรจุก๊าชในโตรเจนลงในสารละลายน้ำ ให้ทำการเตรียมแบบเดียวกับการเตรียมสารละลายน้ำให้ก๊าซออกซิเจน โดยเปลี่ยนจากก๊าซออกซิเจนเป็นก๊าชในโตรเจนแทน ส่วนการเตรียมสารละลายน้ำในสภาวะห้อง ให้ทำการเตรียมในห้องปฏิบัติการที่ไม่โคนแสง

- จากนั้นนำสารละลายน้ำหนึ่งหมุดทั้ง 6 ขวดเก็บรักษาที่อุณหภูมิห้อง และทำการวิเคราะห์หาปริมาณเรติโนอิกแอซิดที่เหลืออยู่ในแต่ละสภาวะที่เวลาต่างๆ กัน กล่าวคือ เวลาเริ่มต้น ( $t=0$ ), วันที่ 1, 3, 5, 7, 14, 21, และวันที่ 28 ของการทดสอบ

## 5. ศึกษาการปลดปล่อยเรติโนอิกแอซิดจากอนุภาคโพลีเอทิลีน ไกลคอลเชื่อมต่อ กับอนุพันธ์ของกรดไขมันชนิด PEG<sub>750</sub>-DPPE

ทำการศึกษาการปลดปล่อยเรติโนอิกแอซิดจากอนุภาคโพลีเอทิลีน ไกลคอลเชื่อมต่อ กับอนุพันธ์ของกรดไขมันชนิด PEG<sub>750</sub>-DPPE ผ่านผิวนังที่ได้จาก foreskin ด้วยวิธี Franz diffusion ซึ่งมีขั้นตอนการทดสอบดังนี้

- ทำการประกอบ foreskin ด้วยแผ่นอะคิลิคใส 2 แผ่น ที่มีพื้นที่วงกลมสำหรับการแพร์ผ่าน  $0.5 \text{ cm}^2$  โดยให้ชั้นบนสุด (stratum corneum) ประกอบกับ donor compartment และผิวนังชั้นล่าง (dermis) วางอยู่บน receiving compartment ที่ภายในบรรจุสารละลายน้ำ 50% ethanol/HBS containing 0.15 mM sodium azide, pH 7.4 ปริมาตร 8 ml เป็น receiving solution พันล้อมรอบด้วย aluminum foil เพื่อป้องกันแสง

- นำชุด Franz cell ที่มีแผ่น foreskin วางบนเครื่อง vertical diffusion cell ที่ต่อ กับ thermostat ซึ่งมีการควบคุมอุณหภูมิไว้ที่  $32^\circ\text{C}$  พร้อมทั้งปั๊น receiving solution ตลอดการทดสอบ ทำการบ่ม foreskin ให้อิ่มตัวไปด้วยสารละลายจาก receiving solution เป็นเวลา 2 ชั่วโมงก่อนเริ่มการทดสอบ

- เติมสารละลายเรติโนอิกแอซิดที่อยู่ในอนุภาค PEG<sub>750</sub>-DPPE หรือสารละลายเรติโนอิกแอซิดใน 50% ethanol/HBS solution (สารละลายควบคุม) ปริมาณ  $77 \mu\text{l}$  ลงบน foreskin ซึ่งมีปริมาณเรติโนอิกแอซิดเฉลี่ยอยู่ที่  $20 \mu\text{g}$

- เก็บตัวอย่างสารละลายจาก receiving solution ที่เวลาต่างๆ กล่าวคือ เวลาเริ่มต้น ( $t=0$ ), 0.5, 1, 2, 3, 4, 6, และ 8 ชั่วโมงหลังจากการเติมสารละลายทดสอบ โดยหลังจากเก็บตัวอย่างสารละลายจาก receiving solution ให้ทำการเติมสารละลายน้ำ 50% ethanol/HBS containing 0.15 mM sodium azide, pH 7.4 ลงในในปริมาณเท่าเดิมเพื่อให้เกิด sink condition ตลอดการทดสอบ ทำการวิเคราะห์หาปริมาณเรติโนอิกแอซิดในสารละลายน้ำ PEG<sub>750</sub>-DPPE และสารละลายควบคุมเพื่อใช้เป็นปริมาณเรติโนอิกแอซิดเริ่มต้น พร้อมทั้งหาปริมาณสารตั้งกล่าวใน receiving solution ของแต่ละช่วงเวลาด้วยวิธี HPLC

6. การเตรียมนานาโน้แกปซูลแคลเซียมอัลจิเนตที่ภายในบรรจุไม้เซลลูโลสของเรตินอิกอีซิด  
แกปซูลของแคลเซียมอัลจิเนตเป็นการทำปฏิกิริยา กันระหว่าง สารอัลจิเนตและแคลเซียม  
คลอไรด์เกิดเป็นเปลือกบางๆ ขึ้นห่อหุ้มของเหลวหรือสารละลายน้ำภายในแกปซูล ซึ่งมีวิธีการ  
เตรียมดังนี้

- นำสารละลายนิเชลของเรติโนอิกเอชิดปริมาณ 7 ml ผสมกับสารละลายนอลจินेटความเข้มข้น 1.5% w/v ปริมาตร 3 ml กรณีผสมเบาๆ ให้เข้ากัน
  - หดสารละลายนิเชลที่มีส่วนผสมของอัลจินेटลงในซิลิโคน (silicone DC 345) พร้อมปั่นเบาๆ ด้วย magnetic bar บน magnetic stirrer ด้วยความเร็วรอบ 200 rpm
  - ก่อยา ปะรยุงแคลเซียมคลอไรด์ทึบคละอีกด้านหนึ่ง 0.1 g ลงในซิลิโคนที่มีสารละลายนิเชลผสมกับอัลจินेट ทำการปั่นด้วยความเร็วรอบคงที่เป็นเวลา 5 นาที เพื่อให้เกิดการทำปฏิกิริยากันเป็นเม็ดแคปซูล
  - เก็บแคปซูลแคลเซียมอัลจินेटที่ภายในบรรจุสารละลายนิเชลของเรติโนอิกเอชิดขึ้นจากซิลิโคนด้วยการกรองผ่านตะแกรงที่มีรูพรุขนาดเด็ก

## ผลการทดลอง

### 1. สภาวะที่ใช้ในการวิเคราะห์หาปริมาณเรติโนอิกแอซิด

เริ่มต้นการทดลองด้วย การหาสภาวะที่เหมาะสมสำหรับการวิเคราะห์หาปริมาณเรติโนอิกแอซิดในสารละลายน้ำด้วยเครื่อง HPLC ซึ่งสภาวะในการวิเคราะห์มีดังนี้

- Shimadzu (Japan) HPLC system with LC-10A pump
- UV-Visible detector
- Controller ; Computer software Class LC10A (Shimadzu, Japan)
- Column ; Phenomenex Luna 5  $\mu\text{m}$ . C18 (250 x 4.60 mm I.D. )
- Guard column ; Phenomenex C 18
- Solvent system ; Acetonitrile : ammonium acetate, pH 3.0 = 75 : 25 v/v
- Flow rate ; 1.5 ml/min (isocratic pump)
- Auto – Injector ; SIL – 10AD VP (Shimadzu, Japan)
- Injection volume ; 20  $\mu\text{l}$
- Wavelength ; 350 nm
- Retention time ; 25 min

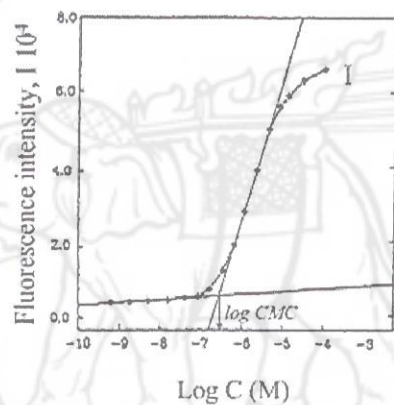
จากสภาวะข้างต้น สามารถวิเคราะห์หาปริมาณเรติโนอิกแอซิดในรูป all-trans และสามารถวิเคราะห์แยกจากไออกซเมอร์ได้ด้วย เช่น 13-cis retinoic acid , 9-cis retinoic acid เป็นต้น โดยพิคโตรามาได้แกรนของเรติโนอิกแอซิดจะถูกจะออกจากคลอลัมน์และวิเคราะห์ได้ที่เวลาระหว่าง 20-21 นาทีหลังจากการฉีดด้วยสภาวะนี้

### 2. เครื่ยมอนุภาคไม่เซลล์จากสารโพลีเอทิลีน ไกลกอลเรื่อมต่อ กับอนุพันธ์ของกรดไขมันชนิดต่างๆ (PEG-PE) ที่ภายในบรรจุเรติโนอิกแอซิด

การทดลองนี้ใช้หลักการการวัดค่าการละลาย (solubilization) ที่เพิ่มขึ้นของเรติโนอิกแอซิด กล่าวคือ เรติโนอิกแอซิดเป็นสารที่ละลายได้จำกในน้ำมันหรือตัวทำละลายอินทรีย์ (organic solvent) แต่มีความสามารถละลายในน้ำได้ต่ำมากๆ ดังนั้นในสารละลายควบคุมที่มีเรติโนอิกแอซิดแต่ไม่มีสาร PEG-PE จึงไม่สามารถวิเคราะห์หาปริมาณเรติโนอิกแอซิดได้ด้วยเครื่อง HPLC

เมื่อเติมสาร PEG-PE ลงในระบบ จะ ความเข้มข้นที่ต่ำกว่าค่า CMC สาร PEG-PE จะ กระจายอยู่เป็นโมเลกุลเดี่ยวๆ เมื่อความเข้มข้นของสาร PEG-PE เพิ่มขึ้น จำนวนโมเลกุลของสาร PEG-PE ในระบบก็เพิ่มขึ้นด้วย จนกระทั่งถึง (หรือเข้าใกล้) จุดความเข้มข้นจำเพาะ (CMC) สาร PEG-PE จะหันส่วนที่ไม่ละลายในน้ำ (โมเลกุลของ PE) เข้าหากัน และถูกกลบรวมรอบด้วยส่วนที่ ละลายในน้ำ (โมเลกุลของ PEG) ก็จะเป็นอนุภาคไมเซลล์นาเดลล์ โดยเรตินอิกอชิดจะถูก รวมกันอยู่ในส่วนของ PE หรือภายในไมเซลล์ (micellar core) จึงสามารถวิเคราะห์หาปริมาณเรตินอิกอชิดที่ละลายได้มากขึ้น ได้เมื่อเข้าใกล้จุด CMC ของสาร PEG-PE

ค่า CMC ถูกคำนวณจากการสร้างกราฟระหว่างผลการรีซ์ม์ความเข้มข้นของสาร PEG-PE กับความเข้มข้นของเรตินอิกอชิดที่มีกระแสไฟ จุดตัดแกน x ของเส้นกราฟ 2 เส้น เป็นค่า CMC ของสาร PEG-PE ชนิดนั้นๆ ดังแสดงในรูปข้างล่างนี้



รูปที่ 2 แสดงวิธีการคำนวณหาค่า CMC ของสาร PEG-PE ด้วยการวัดความเข้มข้นของสาร พลูออร์เทเซนต์ที่เพิ่มขึ้น เช่น สาร pyrene เมื่อสารละลาย PEG-PE มีความเข้มข้นเข้าใกล้บริเวณ CMC

จากการวิจัยครั้งนี้ พบว่าค่า CMC ของสาร PEG-PE มีค่าอยู่ในระดับไมโครโมลาร์ ( $\mu\text{M}$ ) ซึ่งต่ำกว่าค่า CMC ของสารลดแรงตึงผิวทั่วไป (ที่อยู่ในระดับมิลลิโมลาร์, mM) ดังแสดงในตาราง ที่ 1

**ตารางที่ 1 แสดงค่า CMC ของสาร PEG-PE ชนิดต่างๆ จากการละลายที่เพิ่มขึ้นของเรติโนอิกเอชีด ( $n=3$ )**

PEG-PE copolymers	Critical micelle concentration (M)
PEG <sub>5000</sub> -DPPE (C16:0)	$2.81 \times 10^{-5}$
PEG <sub>750</sub> -DPPE (C16:0)	$2.49 \times 10^{-4}$
PEG <sub>750</sub> -DMPE (C14:0)	$2.43 \times 10^{-4}$
PEG <sub>750</sub> -DSPE (C16:0)	$9.72 \times 10^{-5}$
PEG <sub>750</sub> -DOPE (C16:1)	$6.98 \times 10^{-5}$

ค่า CMC ที่ได้จากการทดลองครั้งนี้ มีความคลาดเคลื่อนเล็กน้อยเมื่อเทียบกับการค่า CMC ของสาร PEG-PE ที่ปรากฏในผลงานวิจัยที่ผ่านมา [1] โดยความขาวของสาย PEG และจำนวนโมเลกุลของกรดไขมันมีผลอย่างยิ่งต่อค่า CMC ของสาร กล่าวคือ เมื่อให้ความขาวหรือจำนวนการ์บอนของกรดไขมันเท่ากันและความขาวสาย PEG แตกต่างกัน พบว่า ค่า CMC ของสารจะลดลงเมื่อเพิ่มความขาวสาย PEG ในขณะเดียวกัน เมื่อให้ความขาวสาย PEG เท่ากันและจำนวนการ์บอนของกรดไขมันต่างกัน พบว่า จำนวนการ์บอนที่เพิ่มขึ้นบนโมเลกุลของกรดไขมันจะทำให้ค่า CMC ของสารลดลง นอกจากนั้น พันธะบนโมเลกุลกรดไขมันก็สามารถส่งผลต่อค่า CMC อีกด้วย

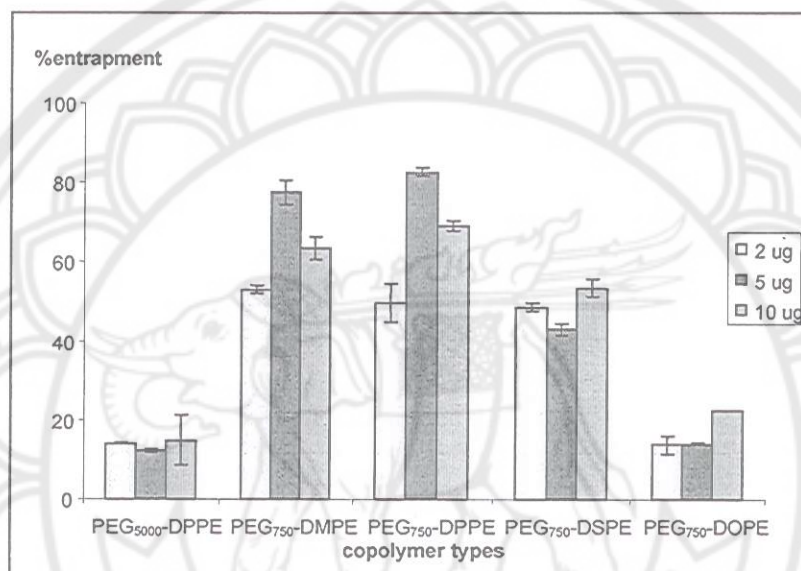
จากการผลงานวิจัยที่ถูกตีพิมพ์ก่อนหน้านี้ กล่าวไว้ว่า วิธีการเตรียม, ชนิดและปริมาณของตัวทำละลายอินทรีย์ที่ใช้ ตลอดจนชนิดของสารละลายบัฟเฟอร์ มีผลต่อคุณลักษณะต่างๆ ของอนุภาคไนเชล และมีผลต่อปริมาณและประสิทธิภาพในการบรรจุสารสำคัญในอนุภาค เป็นอย่างยิ่ง [2, 3] อนุภาคไนเชลสามารถเตรียมได้หลายวิธี และจากการผลงานวิจัยที่ผ่าน พบร่วมกันว่า เมื่อเตรียมอนุภาคไนเชลของสาร PEG-PE ด้วยวิธีระเหบตัวทำละลายชนิด chloroform อีกเป็นวิธีการเตรียมที่ง่าย ไม่ยุ่งยากหรือซับซ้อน และอนุภาคไนเชลที่ได้จากการ PEG-PE มักจะให้รูปร่างแบบ spherical shape เมื่อเทียบกับการเตรียมอนุภาคไนเชลด้วยวิธีอื่นๆ [4, 5]

### 3. การศึกษาคุณลักษณะต่างๆ ของเรติโนอิกเอชีดเมื่อถูกบรรจุในอนุภาคไนเชลของสาร PEG-PE ชนิดต่างๆ

หลังจากเตรียมเรติโนอิกเอชีดลงในอนุภาคไนเชลของสาร PEG-PE ชนิดต่างๆ เป็นที่เรียบร้อยแล้ว จึงทำการศึกษาคุณลักษณะต่างๆ ของอนุภาคไนเชลที่มีและไม่มีเรติโนอิกเอชีดดังต่อไปนี้

### 3.1 การหา % entrapment efficiency ของเรติโนอิกເອົືດໃນອນຸກາຄໄມເໜລ

ເນັ້ນການຫາປະສິທີກາພາກບຣຽຣີໂນອົກເອົືດລົງໃນອນຸກາຄໄມເໜລຈາກສາຮ PEG-PE ຂົນິດຕ່າງໆ ໂດຍເຮັດໃນອົກເອົືດຈະຄູກບຣຽໄວ້ໃນສ່ວນໃຈກາງຂອງອນຸກາຄໄມເໜລຊື່ເປັນສ່ວນທີ່ໄໝລະລາຍໃນນໍ້າ (ໂມເລກຸດຂອງ PE) ອນຸກາຄໄມເໜລຈາກສາຮ PEG-PE ແຕ່ລະຂົນມີປະສິທີກາພາກໃນການບຣຽຣີໂນອົກເອົືດແຕກຕ່າງກັນ



ຮູບທີ່ 3 ປະສິທີກາພາກໃນການບຣຽຣີໂນອົກເອົືດໃນສາຮ PEG-PE ຂົນິດຕ່າງໆ ເນື້ອປະມານເຮັດໃນອົກເອົືດເຮັ່ນຕົ້ນທັງກັນ 2, 5, 10 µg (n=3, mean ± S.E.)

ຈາກຮູບທີ່ 3 ແສດງໃຫ້ເຫັນວ່າທັງອນຸກາຄຈາກສາຮ PEG-PE ແລະປະມານເຮັດໃນອົກເອົືດເຮັ່ນຕົ້ນນີ້ ພລັດຕ່ອປະສິທີກາພາກໃນການກັກເກີນສາຮສຳຄັນ ກລ່າວັດຖຸ ເນື້ອເປົ້າຍເທິບອນຸກາຄໄມເໜລທີ່ມີຄວາມຍາວສາຍ PEG ຕ່າງກັນ (ຮະວ່າງ PEG<sub>5000</sub>-DPPE ແລະ PEG<sub>750</sub>-DPPE) ພບວ່າ ເນື້ອເພີ່ມຄວາມຍາວສາຍເພີ່ມຂຶ້ນ ທ່ານໃຫ້ຄວາມສາມາດໃນການກັກເກີນເຮັດໃນອົກເອົືດຄຸດຄົງຢ່າງມືນັຍສຳຄັນ ໃນຂະໜາດທີ່ ເນື້ອຄວາມຍາວສາຍຂອງກຣດໄຟມັນຕ່າງກັນ ພບວ່າ ມີຄວາມສາມາດໃນການກັກເກີນເຮັດໃນອົກເອົືດໄວ້ໄດ້ກຳລັງກັນ ໂດຍແນພະອບ່າງຍິ່ງອນຸກາຄໄມເໜລທີ່ໄດ້ຈາກ PEG<sub>750</sub>-DMPE ແລະ PEG<sub>750</sub>-DPPE ນອກຈາກນີ້ ພັນຍະກູ່ໃນໂມເລກຸດກຣດໄຟມັນມີຜລທໍາໃຫ້ຄວາມສາມາດໃນການກັກເກີນເຮັດໃນອົກເອົືດເພີ່ມເທິບກັບພັນຍະເດືອນ ໃນໂມເລກຸດກຣດໄຟມັນ

จากการทดลองครั้งนี้ แสดงให้เห็นว่า เมื่อใช้ปริมาณเรติโนอิกแอซิดเริ่มต้น  $5 \mu\text{g}$  จะให้ประสิทธิภาพในการกักเก็บสารสำคัญสูงสุด โดยเฉพาะเมื่อยู่ในอนุภาคไมเซลล์ชนิด PEG<sub>750</sub>-DPPE

### 6.3.2 การวัดขนาดอนุภาคไมเซลล์และการกระจายตัวของอนุภาคไมเซลล์จากสาร PEG-PE ชนิดต่างๆ

ในการทดสอบนี้ เป็นการวัดขนาดของอนุภาคไมเซลล์ที่ได้จากสาร PEG-PE ชนิดต่างๆ ที่บรรจุและไม่บรรจุเรติโนอิกแอซิด ด้วยเครื่อง BIC Particle Sizing (Brookhaven instrument, Holtsville, NY) นอกจากนี้ ทำการตรวจสอบการกระจายตัวของอนุภาคไมเซลล์ด้วยว่ามีการกระจายตัวอย่างไร

ตารางที่ 2 แสดงขนาดอนุภาคไมเซลล์จากสาร PEG-PE ที่มีและไม่มีเรติโนอิกแอซิด ( $n=3$ , mean  $\pm$  SD)

PEG-PE Copolymers	micelle size (nm)	
	with all-trans retinoic acid	without all-trans retinoic acid
PEG <sub>5000</sub> -DPPE	$20.3 \pm 1.0$	$17.3 \pm 3.4$
PEG <sub>750</sub> -DPPE	$7.5 \pm 1.3$	$7.2 \pm 0.9$
PEG <sub>750</sub> -DMPE	$6.9 \pm 0.3$	$6.6 \pm 0.9$
PEG <sub>750</sub> -DOPE	$9.7 \pm 0.8$	$7.6 \pm 1.0$
PEG <sub>750</sub> -DSPE	$8.2 \pm 0.7$	$7.9 \pm 1.1$

จากตารางที่ 2 พบว่า ขนาดอนุภาคไมเซลล์ของสาร PEG-PE อยู่ในระดับนาโนเมตร โดยเฉพาะอย่างยิ่งอนุภาคไมเซลล์ที่ได้จาก PEG 750 Daltons ไมเซลล์ที่ได้มีขนาดไม่เกิน 10 นาโนเมตร จากการทดลองครั้งนี้สรุปได้ว่าความยาวของสาย PEG มีผลต่อน้ำหนักอนุภาคไมเซลล์เป็นอย่างมาก นอกจากนี้ เมื่อทำการเปรียบเทียบขนาดอนุภาคไมเซลล์ที่มีและไม่มีเรติโนอิกแอซิดอยู่ภายในอนุภาค พบว่า ไมเซลล์ขนาดใกล้เคียงกันหรือไม่มีความแตกต่างอย่างมีนัยสำคัญ

ตารางที่ 3 แสดงการกระจายของอนุภาคไมเซลล์จากสาร PEG-PE ที่มีและไม่มีเรติโนอิกแอซิด ( $n=3$ , mean  $\pm$  SD)

PEG-PE Copolymers	Polydispersity index	
	with all-trans retinoic acid	without all-trans retinoic acid
PEG <sub>5000</sub> -DPPE	0.394 ± 0.016	0.368 ± 0.001
PEG <sub>750</sub> -DPPE	0.238 ± 0.028	0.295 ± 0.005
PEG <sub>750</sub> -DMPE	0.418 ± 0.045	0.415 ± 0.020
PEG <sub>750</sub> -DOPE	0.537 ± 0.047	0.235 ± 0.012
PEG <sub>750</sub> -DSPE	0.376 ± 0.021	0.394 ± 0.023

ตารางที่ 3 แสดงผลการกระจายตัวของขนาดอนุภาคไม้เซลล์เมื่อวัดด้วยเครื่อง BIC Particle Sizing จากผลการทดสอบ พบว่าค่า polydispersity indexes ของอนุภาคไม้เซลล์ที่มีและไม่มีเรติโน อิกอีซิด มีการกระจายตัวแบบ monodispersion ซึ่งแสดงให้เห็นว่าไม้เซลล์ที่ได้จากการทดลองครั้งนี้ มีขนาดใกล้เคียงกัน

### 6.3.3 การวัดประจุบนอนุภาคไม้เซลล์จากสาร PEG-PE ชนิดต่างๆ

นอกจากนี้ ได้ทำการวัดค่าประจุบนผิวของอนุภาคไม้เซลล์ที่บรรจุและไม่ได้บรรจureติโน อิกอีซิด ไว้ภายในอนุภาคด้วยเครื่อง Zeta Potential Analyzer (Brookhaven instrument, Holtsville, NY) ดังแสดงผลในตารางข้างล่างนี้

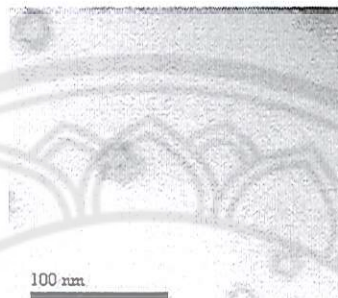
ตารางที่ 4 แสดงค่าประจุบนผิวอนุภาคไม้เซลล์ของสาร PEG-PE ชนิดต่างๆ ( $n = 3$ , mean ± SD)

PEG-PE Copolymers	zeta potential (mV)	
	with all-trans retinoic acid	without all-trans retinoic acid
PEG <sub>5000</sub> -DPPE	-2.10 ± 1.09	-0.84 ± 2.67
PEG <sub>750</sub> -DPPE	1.05 ± 0.78	4.29 ± 1.87
PEG <sub>750</sub> -DMPE	0.99 ± 0.95	1.49 ± 1.27
PEG <sub>750</sub> -DOPE	0.90 ± 0.80	0.38 ± 0.88
PEG <sub>750</sub> -DSPE	1.01 ± 0.98	0.97 ± 1.02

ผลการทดสอบในตารางที่ 4 พบว่า ประจุบนอนุภาคไม้เซลล์มีค่าเป็นกลางทึ่งที่บรรจุและไม่ได้บรรจureติโน อิกอีซิด เนื่องจากโมเลกุลของ PEG มีความเป็นกลาง ดังนั้นมีสาร PEG-PE ก็จะเป็นอนุภาคไม้เซลล์ การวัดค่าประจุบนอนุภาคไม้เซลล์จึงเป็นการวัดค่าประจุของ PEG จึงเห็นว่า อนุภาคไม้เซลล์ที่ได้นี้มีค่าเป็นกลางทุกชนิด

### 6.3.4 การวิเคราะห์รูปทรงของอนุภาคไม้เซลลากสาร PEG-PE

ทำการวิเคราะห์รูปทรงของอนุภาคไม้เซลที่ได้จากสาร PEG<sub>750</sub>-DPPE ด้วยเครื่อง Transmission electron microscopy พบว่า อนุภาคไม้เซลที่ได้มีรูปทรงกลมขนาดเล็กในระดับนาโนเมตร ดังแสดงในรูปที่ 4



รูปที่ 4 แสดงอนุภาคไม้เซลที่ได้จากสาร PEG<sub>750</sub>-DPPE ที่ไม่ได้บรรจุเรติโนอิกเอชิดไว้ภายใน (กำลังขยาย 150,000 เท่า)

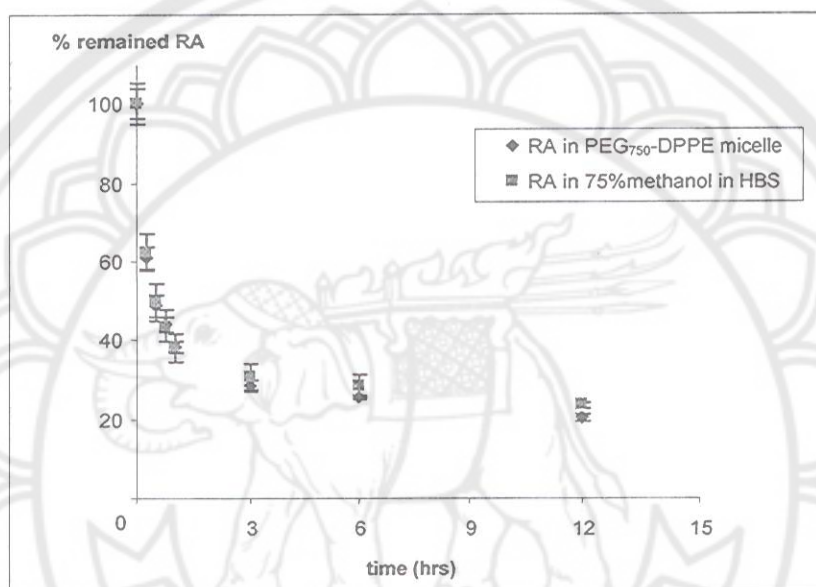
จากการทดสอบคุณลักษณะของอนุภาคไม้เซลที่ได้จากสาร PEG-PE ชนิดต่างๆ ที่กล่าวมาข้างต้น พบว่า อนุภาคไม้เซลที่ได้จากสาร PEG<sub>750</sub>-DPPE มีประสิทธิภาพในการบรรจุเรติโนอิกเอชิดสูงที่สุด อนุภาคที่ได้มีรูปทรงกลมและขนาดเล็กในระดับนาโนเมตร ดังนั้นผู้วิจัยจึงทำการคัดเลือกไม้เซลที่เกิดจากสาร PEG<sub>750</sub>-DPPE มาใช้เป็นตัวกักเก็บเรติโนอิกเอชิด เพื่อทำการศึกษาความคงตัวและการปลดปล่อยของเรติโนอิกเอชิดต่อไป

### 6.4 ศึกษาความคงตัวทางเคมีของเรติโนอิกเอชิดในอนุภาคไม้เซลที่ได้จากสารโพลีเอทิลีนไอกออลเชื่อมต่อกับกรดไขมัน

เนื่องจากเรติโนอิกเอชิดเป็นสารที่มีค่าการละลายน้อยมากในน้ำหรือในสารละลายน้ำฟเฟอร์ ดังนั้น การเตรียมสารละลายน้ำเรติโนอิกเอชิดที่ไม่มีอนุภาคไม้เซลทำได้โดย ใช้ตัวทำละลายอินทรีย์ ( เช่น methanol ) เข้ามาช่วยละลายและเตรียมเป็นสารละลายน้ำเรติโนอิกเอชิดที่ละลายอยู่ใน 75% methanol in HBS solution

#### 6.4.1 ผลของแสงที่มีต่อนุภาคไมเซลล์ของเรติโนอิกแอซิด

แสงเป็นปัจจัยหนึ่งที่มีผลต่อการสลายตัวของเรติโนอิกแอซิดเป็นอย่างมาก โดยเรติโนอิกแอซิดจะเกิดการบิดของโครงสร้างอย่างรวดเร็วคล้ายเป็นไอโซเมอร์ในรูปต่างๆ เช่น *13-cis* retinoic acid, *9-cis* retinoic acid เป็นต้น ในการทดลองนี้ ทำการศึกษาผลของแสงที่มีต่อเรติโนอิกแอซิดที่บรรจุในอนุภาคไมเซลล์จาก PEG<sub>750</sub>-DPPE in HBS solution เทียบกับสารละลายเรติโนอิกแอซิดที่ไม่ได้บรรจุในอนุภาคไมเซลล์ (สารละลายควบคุม)



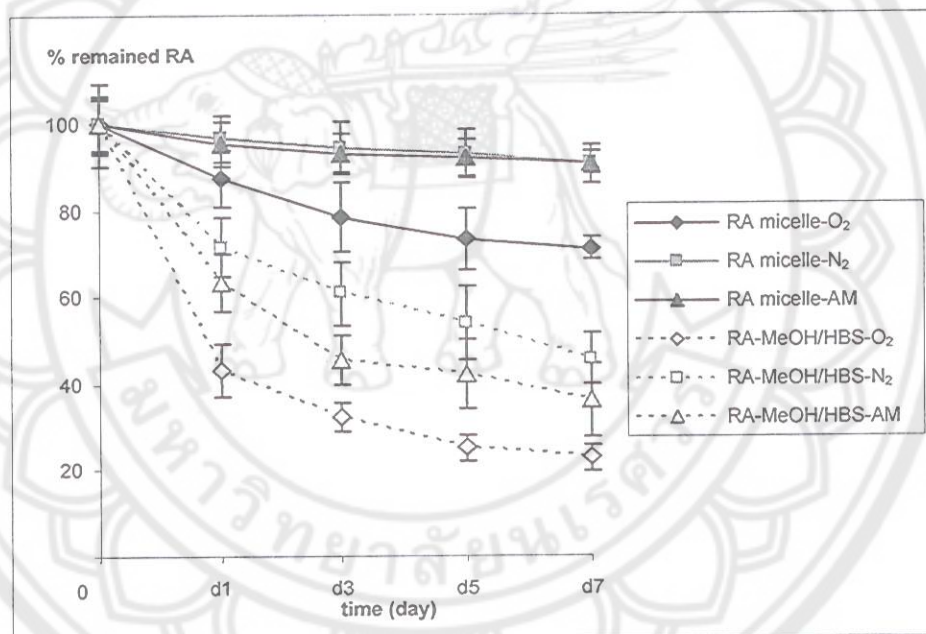
รูปที่ 5 แสดงเปอร์เซนต์คงอยู่ของเรติโนอิกแอซิดในอนุภาคไมเซลล์ (◊) และในสารละลายควบคุม (■) ภายใต้สภาวะที่โดยแสงเป็นเวลา 12 ชั่วโมง

จากการทดลองของแสง ที่มีต่อความเข้มข้นของเรติโนอิกแอซิดที่บรรจุในอนุภาคไมเซลล์จาก PEG<sub>750</sub>-DPPE และในสารละลายควบคุม พบว่า ความเข้มข้นของเรติโนอิกในอนุภาคไมเซลล์ลดลงอย่างรวดเร็ว โดยลดลงเกือบ 50% ภายในเวลา 15 นาทีเมื่อโดยแสง ในขณะที่เรติโนอิกแอซิดในสารละลายควบคุมที่สลายตัวอย่างรวดเร็วเข่นเดียวกัน ซึ่งสอดคล้องกับผลการทดลองความคงตัวของเรติโนอิกแอซิดเมื่อถูกบรรจุใน liposome และ niosome [6, 7] สามารถอธิบายได้ว่า เมื่อจากสารละลายที่มีอนุภาคไมเซลล์ลักษณะเป็นสารละลาย ใส จึงทำให้แสงทะลุผ่านไปได้ จึงเห็นว่า ถึงแม้ เรติโนอิกแอซิดถูกบรรจุในอนุภาคไมเซลล์ยังคงเกิดการสลายตัวเข่นเดียวกันกับเรติโนอิกแอซิดในสารละลายควบคุม จากการทดลองนี้แสดงว่า แสงยังคงเป็นปัจจัยหลักของการสลายตัวของเรติโนอิกแอซิด โดยทำให้เรติโนอิกแอซิดเกิดการบิดโครงสร้างคล้ายเป็นไอโซเมอร์ แต่ย่างไร

ก็ตาม จากการวิจัยที่ผ่านมา พบว่า ไอโซเมอร์ของเรติโนอิกแอซิดก็มีฤทธิ์หรือประสิทธิภาพ ใกล้เคียงกับเรติโนอิกแอซิด [8, 9]

#### 6.4.2 ผลของออกซิเจนที่มีต่อนูภาคไมเซลล์ของเรติโนอิกแอซิด

นอกจากถูกกระตุ้นได้ง่ายด้วยแสงแล้ว เรติโนอิกแอซิดยังสามารถตัวได้ย่างเมื่อถูกอีอกซิไดซ์ ด้วยสารอีอกซิเดนซ์ (oxidizing agent) ผ่านทางปฏิกิริยา epoxidation เกิดเป็น all-trans 5,6-epoxy retinoic acid เป็นต้น ซึ่งปฏิกิริยาอีอกซิเดชันของสารเป็นปฏิกิริยาที่สามารถเกิดขึ้นได้อย่างต่อเนื่อง สารต่างๆ ที่เกิดขึ้นระหว่างปฏิกิริยานี้จะถูกทำปฏิกิริยาค่วยออกซิเจนหรืออนุมูลอิสระที่อยู่ในระบบ ทำให้เกิดการถลายตัวหรือเปลี่ยนรูปของสารตั้งต้นไปเรื่อยๆ นอกจากนี้ ในชั้นผิวนังไม่มี เอนไซม์ที่สามารถเปลี่ยน epoxy products ให้กลับเป็น all-trans retinoic acid

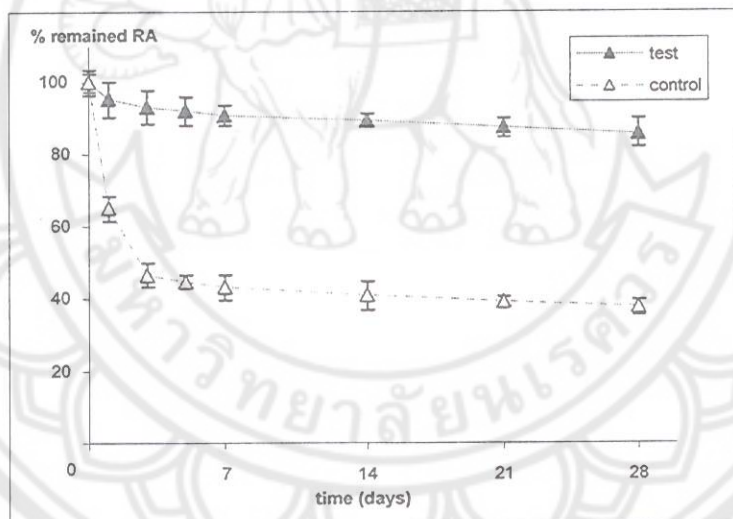


รูปที่ 6 แสดงเปอร์เซนต์คงอยู่ของเรติโนอิกแอซิดในสารละลายไมเซลล์ (เส้นทึบ, solid line) และในสารละลาย 75% methanol in HBS (เส้นประ, dot line) เมื่อถูกเก็บภายใต้สภาวะต่างๆ ที่อุณหภูมิห้องและไม่โดนแสง

รูปที่ 6 เป็นผลการทดลองเพื่อเปรียบเทียบเรติโนอิกแอซิดที่ไม่ได้เตรียมในอนุภาคไมเซลล์ กับที่บรรจุในอนุภาคไมเซลล์ของ PEG<sub>750</sub>-DPPE พบว่า อนุภาคไมเซลล์ของ PEG<sub>750</sub>-DPPE สามารถ ชะลอการถลายตัวของเรติโนอิกแอซิดได้อย่างมีนัยสำคัญเมื่อเทียบกับไม่มีอนุภาคไมเซลล์ในทุกๆ สภาวะ (สภาวะก้าซออกซิเจน, สภาวะในโตรเจน และสภาวะห้อง) เมื่อถูกเก็บรักษาใน

อุณหภูมิห้องและไม่โคนแสง โดยมีปริมาณเรติโนอิกเอชิดในสารละลายนีเชลเหลืออยู่ 87%, 97%, และ 95% เมื่อออยู่ในสภาวะออกซิเจน, ในไตรเจน, และสภาวะห้องเป็นเวลา 1 วัน ตามลำดับ ในขณะที่เรติโนอิกมีการสลายตัวมากกว่า 20% ในสารละลักษ่วงคุณ โดยเรติโนอิกเอชิดมีการสลายตัวของรากเร็วที่สุดเมื่อไม่มีอนุภาค ไม่เชลและอยู่ในสภาวะที่มีก้าชออกซิเจน

เมื่อทำการเปรียบเทียบผลของออกซิเจนที่มีต่อการสลายตัวของเรติโนอิกเอชิด พบว่า อนุภาค ไม่เชลของ  $\text{PEG}_{750}\text{-DPPE}$  ช่วยลดการสลายตัวของเรติโนอิกเอชิด ได้อย่างชัดเจน โดยมีปริมาณเรติโนอิกเอชิดในสารละลายนีเชลเหลืออยู่ 87% ในขณะที่สารละลักษ่วงคุณมีปริมาณเหลืออยู่ 43% เมื่อกีบรักษาที่อุณหภูมิห้องและไม่โคนแสง จากการทดสอบนี้ สามารถสรุปได้ว่า ไม่เลกุล  $\text{PEG}_{750}\text{-DPPE}$  ที่ล้อมรอบไม่เลกุลเรติโนอิกเอชิดสามารถชะลอการสลายตัวอันเนื่องจากเกิดปฏิกิริยาอักซิเจนจากก้าชออกซิเจน ได้ ที่น่าสนใจอีกอย่างหนึ่งจากการทดสอบนี้คือ เมื่อกีบสารละลายเรติโนอิกเอชิดในอนุภาค ไม่เชลในสภาวะที่ไม่มีก้าชออกซิเจนและสภาวะห้องที่ อุณหภูมิห้องและปราศจากแสง พบว่า เรติโนอิกมีการสลายตัวเพียง 10% เท่านั้นหลังเก็บรักษา 7 วัน เมื่อทำการติดตามผลของปริมาณเรติโนอิกเอชิดที่เหลืออยู่ในสารละลายนีเชลเป็นระยะเวลา 28 วัน พบว่า มีเรติโนอิกเอชิดเหลืออยู่ในสารละลายนีเชลถึง 86% (ดังแสดงในรูปที่ 7)

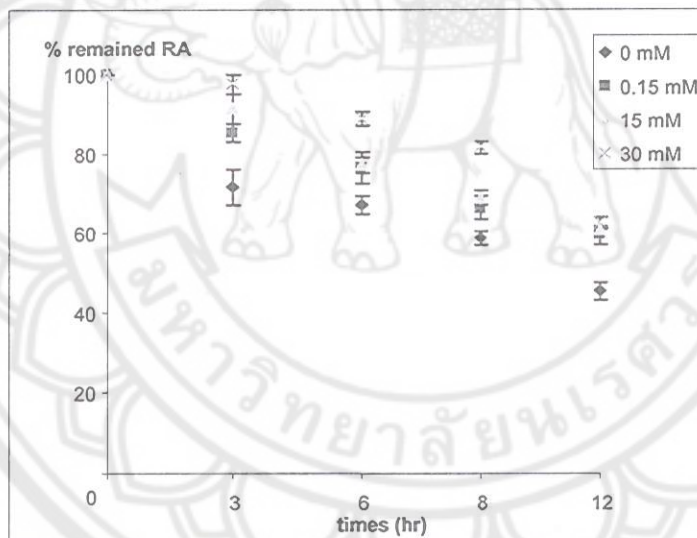


รูปที่ 7 แสดงเปรียบเทียบของเรติโนอิกเอชิดในสารละลายนีเชล (เส้นทึบ, solid line) และในสารละลายนีเชล 75% methanol in HBS (เส้นประ, dot line) เมื่อกีบเก็บในสภาวะห้องและไม่โคนแสง

## 6.5 ศึกษาการปลดปล่อยเรติโนอิกเอชิดจากอนุภาคโพลีเอทิลีน ไกลคอลเชื่อมต่อ กับอนุพันธ์ของกรดไขมัน

ภายในร่างกายมีกระบวนการสลายเรติโนอิกเอชิดซึ่งมีบทบาทสำคัญในการควบคุมการเจริญเติบโตของทุกๆ เซลล์ โดยเฉพาะอย่างยิ่งเซลล์ผิวหนัง ดังนั้น ในขั้นตอนแรกทำการศึกษาการยับยั้งการสลายตัวของเรติโนอิกเอชิดอันเนื่องจากเอนไซม์ภายในเซลล์ด้วยสาร sodium azide ที่ความเข้มข้นต่างๆ ได้แก่ 0.15, 15, 30 mM ตามลำดับ เมื่อเทียบกับการไม่ใช้สาร sodium azide

จากการทดสอบ พบว่า เกือบ 40% ของปริมาณเรติโนอิกเอชิดสามารถถูกยับยั้งด้วยเอนไซม์ภายใน foreskin เมื่อทำการทดสอบเป็นเวลา 8 ชั่วโมงที่อุณหภูมิห้อง prac จากแสดงนอกจากนี้ พบว่าสาร sodium azide มีความสามารถในการยับยั้งการสลายตัวของเรติโนอิกเอชิดจากการทำงานของเอนไซม์ภายใน foreskin ได้อย่างมีนัยสำคัญ โดยความสามารถในการยับยั้งการสลายตัวขึ้นอยู่กับความเข้มข้นของสาร sodium azide ที่ใช้ดังแสดงในรูปที่ 8



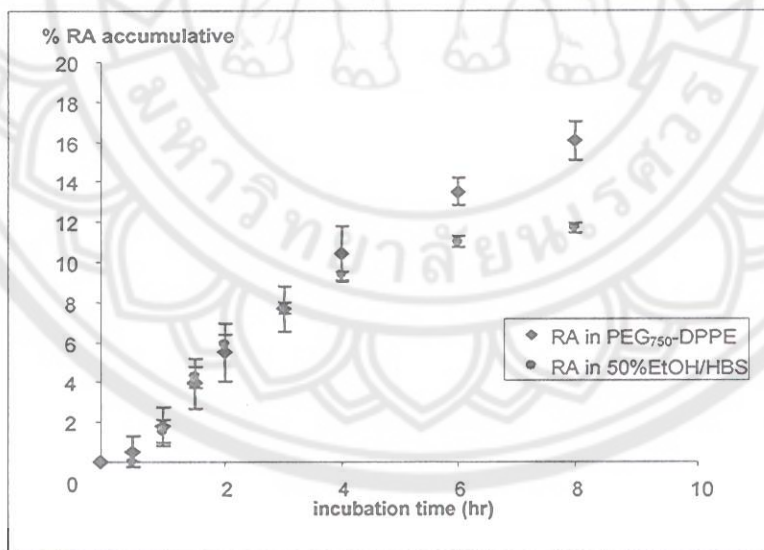
รูปที่ 8 แสดงผลการยับยั้งการทำงานของเอนไซม์ภายใน foreskin ด้วยสารละลายน้ำ sodium azide ที่ความเข้มข้นต่างๆ ( $n=3$ , mean  $\pm$  S.E.)

แต่อย่างไรก็ตามสาร sodium azide มีความสามารถในการละลายในตัวทำละลายอินทรี เช่น ethanol ได้น้อย โดยที่ความเข้มข้น 0.15 mM เมื่อถูกเตรียมให้อยู่ในรูปสารละลาย 50% ethanol/HBS containing sodium azide จะได้สารละลายใส ไม่เกิดผลลัพธ์ของสาร sodium azide

ในขณะที่เมื่อเตรียมด้วยความเข้มข้นที่เพิ่มขึ้นจะทำให้เกิดการตกผลึกของสาร sodium azide ดังนั้น receiving solution ที่ใช้การทดสอบจึงมีสาร sodium azide ผสมร่วมอยู่ที่ความเข้มข้น 0.15 mM ด้วย นอกจากนี้ เมื่อทำการทดสอบเป็นเวลา 8 ชั่วโมง พบร่วมปริมาณเรติโนอิกเอซิดคงเหลืออยู่ 66% ของปริมาณเรติโนอิกเอซิดเริ่มต้น

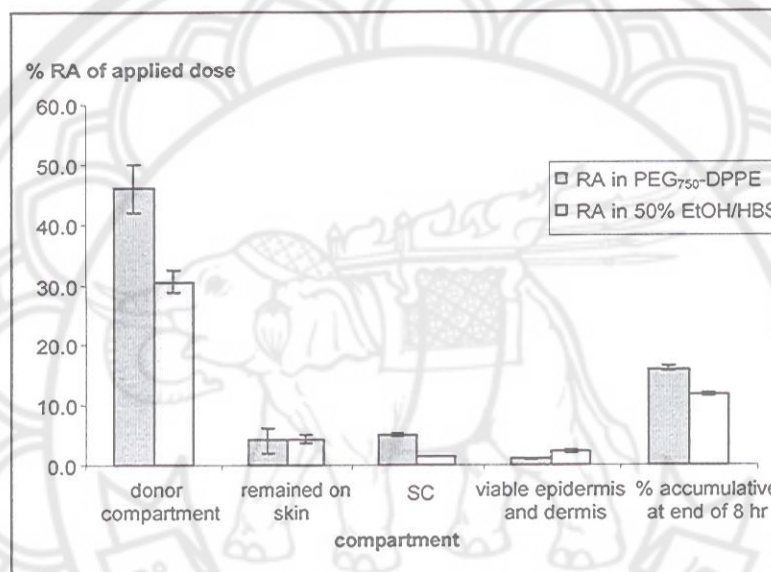
เนื่องจากผิวหนังที่ได้จาก foreskin มีพื้นที่สำหรับการทดสอบจำกัด จึงทำการประกอบแผ่น foreskin ด้วยแผ่นอะคิลิซึ่งกำหนดให้พื้นที่สำหรับการแพร่ผ่านเท่ากับ  $0.5 \text{ cm}^2$  แทนการวางแผนชุด Franz cell โดยตรง

เมื่อทำการทดสอบการปลดปล่อยเรติโนอิกเอซิดจากอนุภาคโพลีเอทิลีน ไกลคอลเชื่อมต่อ กับอนุพันธ์ของกรดไบมันชนิด PEG<sub>750</sub>-DPPE ผ่านผิว foreskin พบร่วม เรติโนอิกเอซิดสามารถถูก วิเคราะห์ได้ใน receiving solution ตั้งแต่เวลา 30 นาทีหลังการหยดสารละลายลงบนผิว foreskin และเรติโนอิกเอซิดจะถูกปลดปล่อยอย่างต่อเนื่องตลอดระยะเวลา 8 ชั่วโมงของการทดสอบ ในขณะที่เมื่อเตรียมเรติโนอิกเอซิดในรูปสารละลาย 50% ethanol/HBS พบร่วม เรติโนอิกเอซิดถูกปลดปล่อยอย่างรวดเร็วในช่วงแรกของการทดสอบ และเริ่มปลดปล่อยช้าลงที่เวลา 4 ชั่วโมง ของการทดสอบเป็นต้นไป โดยเมื่อทำการทดสอบเป็นเวลา 8 ชั่วโมง พบร่วม 16% ของปริมาณเรติโนอิกเอซิดเริ่มต้น สามารถแพร่ผ่านผิว foreskin ได้เมื่อถูกเตรียมในอนุภาค PEG<sub>750</sub>-DPPE ในขณะที่ 12% ของปริมาณเริ่มต้นสามารถแพร่ผ่านได้เมื่อเตรียมในรูปสารละลาย 50% ethanol/HBS (ดังแสดงในรูปที่ 9)



รูปที่ 9 แสดงเปอร์เซนต์การสะสมของเรติโนอิกเอซิดที่ถูกปลดปล่อยจากอนุภาคโพลีเอทิลีน ไกลคอลเชื่อมต่อ กับอนุพันธ์ของกรดไบมันชนิด PEG<sub>750</sub>-DPPE แพร่ผ่านผิว foreskin (n=4, mean  $\pm$  S.E.)

จากรูปที่ 10 เมื่อวิเคราะห์การคงเหลือของเรติโนอิกເອົ້າດີນໍ້າຕະຫຼາມຢູ່ໃນອນຸກາກ PEG<sub>750</sub>-DPPE ໃນສ່ວນຕ່າງໆ ຂອງພິວ foreskin ພບວ່າ 22% ຂອງປຣິມານທີ່ໃຊ້ ສາມາດແພ່រ່ານໜັນ Stratum corneum ແລະ ຊັ້ນ viable epidermis ຕລອດຈົນໜັນ dermis ໄດ້ໃນປຣິມານ 1% ແລະ 16 % ຕາມລຳດັບ ໂດຍ 50% ຂອງປຣິມານທີ່ໃຊ້ຄົງເກືອຂ່າຍ່ຳນັ້ນພິວ foreskin ໃນຂະໜາດທີ່ເມື່ອເຕີມເຮົດໄຟ ອຸປະການ 50% ethanol/HBS ພບວ່າ 1% ຂອງປຣິມານທີ່ໃຊ້ສາມາດວິເຄາະໄດ້ທີ່ໜັນ Stratum corneum ແລະ 2% ສາມາດວິເຄາະໄດ້ໃນໜັນ viable epidermis ແລະ ຊັ້ນ dermis ໂດຍ ຄົງເກືອຂ່າຍ່ຳນັ້ນພິວ foreskin ອູ້ 35% ຂອງເຮົດໄຟ ອຸປະການທີ່ໃຊ້



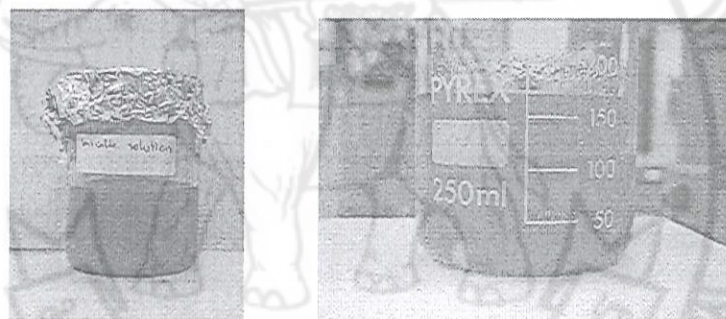
ຮູບທີ 10 ເປົ້ອງເຮັດຕັກຄົງເກືອຂ່າຍ່ຳນັ້ນພິວ foreskin (n=4, mean  $\pm$  S.E.)

จากการทดสอบครั้งนี้ ແສດໄທ້ເຫັນວ່າ ອຸປະກາກ PEG<sub>750</sub>-DPPE ຂ່າຍເພີ່ມຄວາມສາມາດໃນ ການແພ່ຮ່ານໜັນເກືອຂ່າຍ່ຳນັ້ນພິວ ທັງນີ້ຈາກເນື່ອງຈາກໄມເລກຸລຂອງໂພລີເອທິລິນ ໄກລົດລົດແລກຮົດ ໄກມັນຊື່ນີ້ທີ່ເປັນ chemical enhancer ໂດຍເພີ່ມ fluidity ແລະ permeability ຂອງໜັນທີ່ເປັນ ສ່ວນປະກອບຂອງເຢື່ອໜຸ່ມເໜຸດ [10] ຊື່ງທັງສອງປັຈຍັນນີ້ ທຳໄຟເພີ່ມຄວາມສາມາດໃນການນຳສ່າງສາຮ່າງໆ ເຂົ້າສູ່ເໜຸດພິວ

## 6.6 การเตรียมนาโนแคปซูลแคลเซียมอัลจิเนตที่ภายนอกบรรจุในเซลล์ของเรตินอิคเลอร์

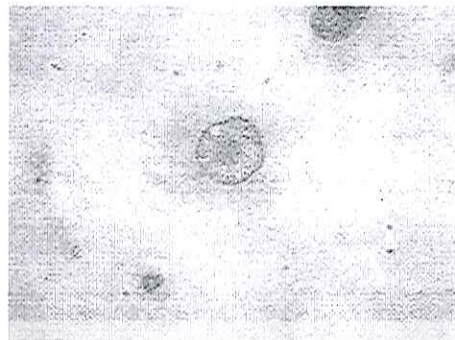
แคปซูลของแคลเซียมอัลจิเนตเป็นการทำปฏิกริยา กันระหว่างสารอัลจิเนตและแคลเซียมคลอไรด์เกิดเป็นเปลือกบางๆ ขึ้นห่อหุ้มของเหลวหรือสารละลายไว้ภายในแคปซูล แต่เนื่องจากสารละลายไม่เชลามีลักษณะใส โปร่งแสง เมื่อทำเป็นเม็ดแคปซูลจะไม่สามารถมองเห็นได้ว่าสารละลายไม่เชลลูกกักเก็บอยู่ในเม็ดแคปซูลจริงหรือไม่ ดังนั้นจึงทำการทดสอบโดยการใช้สีน้ำเงินชงละลายในน้ำมันพัฒนาในสารละลายไม่เชล

จากรูปที่ 11 เป็นสารละลายไม่เชลที่ผสมกับสารละลายอัลจิเนต (รูปซ้ายมือ) จะได้สารละลายไม่เชลสีน้ำเงินเข้ม จากนั้นทำการหยดสารละลายไม่เชลที่ผสมอัลจิเนตลงในชิลิโคน (ที่ไม่ละลายในน้ำ) ที่มีการปั่นเบาๆ จะได้อุณภูมิของกรอบขนาดเด็กสีน้ำเงิน เมื่อทำการปะยแคลเซียมคลอไรด์ในบีกเกอร์ พร้อมปั่นเบาๆ จนกระทั่งเกิดการทำปฏิกริยา กันระหว่างอัลจิเนตและแคลเซียมคลอไรด์ จะได้อุณภูมิของขนาดเด็กสีน้ำเงินกระจายอยู่ในชิลิโคน (รูปขวา มือ)



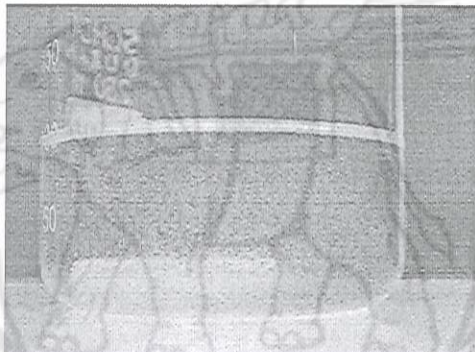
รูปที่ 11 สารละลายไม่เชลผสมกับสารละลายอัลจิเนตที่มีการเติมสีน้ำเงิน (ซ้ายมือ) และแคปซูลขนาดเด็กของแคลเซียมอัลจิเนตที่ภายนอกมีสารละลายไม่เชลกระจายตัวอยู่ในชิลิโคน (ขวา มือ)

เมื่อถูกรูปทรงอุณภูมิของแคลเซียมอัลจิเนตที่ได้ผ่านกล้องจุลทรรศน์ พบว่า อุณภูมิที่ได้มีลักษณะทรงกลม ขนาดเล็ก ชั้นในสุดเป็นสารละลายไม่เชลสีน้ำเงินที่ถูกล้อมรอบด้วยเปลือกของแคลเซียมอัลจิเนต (รูปที่ 12)

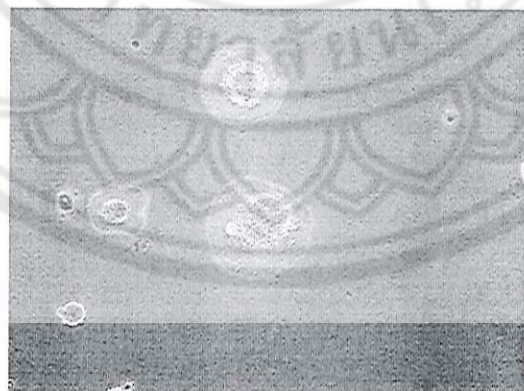


รูปที่ 12 แคปซูลขนาดเล็กของแคลเซียมอัลจิเนตที่ภายในบรรจุสารละลายไม่เซลที่ข้อมค่วยสีน้ำเงิน (กำลังขยาย 10 เท่า)

จากการทดลองนี้ แสดงให้เห็นว่าวิธีการเตรียมดังกล่าวสามารถใช้เตรียมแคปซูลแคลเซียมอัลจิเนตที่ภายในบรรจุสารละลายไม่เซลของเรติโนอิกแอซิดได้



รูปที่ 13 แคปซูลขนาดเล็กของแคลเซียมอัลจิเนตที่ภายในบรรจุสารละลายไม่เซล



รูปที่ 14 แคปซูลขนาดเล็กของแคลเซียมอัลจิเนตที่ภายในบรรจุสารละลายไม่เซล (กำลังขยาย 10 เท่า)



รูปที่ 13 และ 14 แสดงอนุภาคขนาดเล็กจากการทำปฏิริยาของแคลเซียมคลอไรด์และอัลจิเนตที่ภายในบรรจุสารละลายไมเมเซล และแคปซูลทรงกลมของแคลเซียมอัลจิเนตที่ภายในบรรจุสารละลายไมเมเซล ตามลำดับ

- 5 JUL 2011

## สรุปผลการทดสอบ

จากการวิจัยครั้งนี้ สามารถสรุปได้ว่า เรติโนอิกอีซิดจะมีความคงตัวทางเคมีเพิ่มขึ้นเมื่อถูกกักเก็บในอนุภาคไมโครเซลของสาร  $\text{PEG}_{750}\text{-DPPE}$  โดยเฉพาะอย่างยิ่งเมื่อถูกเก็บในสภาพที่ไม่มีแสงที่อุณหภูมิห้อง ซึ่งอนุภาคไมโครเซลที่ได้มีอนุภาคทรงกลมขนาด 7 นาโนเมตร นอกจากนี้ อนุภาคไมโครเซลจาก  $\text{PEG}_{750}\text{-DPPE}$  ยังเพิ่มความสามารถในการปลดปล่อยเรติโนอิกอีซิดเข้าสู่ผิว และสามารถเตรียมเป็นแคปซูลขนาดเล็กของแคเดเชียมอลิจเนตได้ง่าย เพื่อทำการกักเก็บอนุภาคไมโครเซลไว้ภายใน

เอกสารอ้างอิง

- [1] A.N. Lukyanov, Z. Gao, L. Mazzola, V.P. Torchilin, Polyethylene glycol-diacyllipid micelles demonstrate increased accumulation in subcutaneous tumors in mice. *Pharmaceutical Research* 19(10) (2002).
  - [2] C. Allen, D. Maysinger, A. Eisenberg, Nano-engineering block copolymer aggregates for drug delivery. *Colloids and Surfaces B: Biointerfaces* 16(1-4) (1999) 3-27.
  - [3] G. Gaucher, M.-H. Dufresne, V.P. Sant, N. Kang, D. Maysinger, J.-C. Leroux, Block copolymer micelles: preparation, characterization and application in drug delivery. *Journal of Controlled Release* 109(1-3) (2005) 169-188.
  - [4] A.N. Lukyanov, Z. Gao, V.P. Torchilin, Micelles from polyethylene glycol/phosphatidylethanolamine conjugates for tumor drug delivery. *Journal of Controlled Release* 91(1-2) (2003) 97-102.
  - [5] A.N. Lukyanov, V.P. Torchilin, Micelles from lipid derivatives of water-soluble polymers as delivery systems for poorly soluble drugs. *Advanced Drug Delivery Reviews* 56(9) (2004) 1273-1289.
  - [6] M. Brisaert, M. Gabiels, V. Matthijs, J. Plaizier-Vercammen, Liposomes with tretinoin: a physical and chemical evaluation. *Journal of Pharmaceutical and Biomedical Analysis* 26 (2001) 909-917.

- [7] M. Manconi, D. Valenti, C. Sinico, F. Lai, G. Loy, M.A. Fadda, Niosomes as carriers for tretinoin II. Influence of vesicular incorporation on tretinoin photostability. International Journal of Pharmaceutics 260 (2003) 261-272.
- [8] D.J. Elbaum, Comparision of the stability of topical isotretinoin and topical tretinoin and their efficacy in acne. Journal of the American Academy of Dermatology 19(3) (1988) 486-491.
- [9] L. P.E., I. H., M. A.J., P. A.D.J., C.P.F. Redfern, 9-cis retinoic acid-a better retinoid for the modulation of differentiation, proliferation and gene expression in human neuroblastoma. Journal of Neuro-Oncology 31 (1997) 85-91.
- [10] D.W. Osborne, A.H. Amann, Drugs and the pharmaceutical sciences volume 42: Topical drug delivery formulations, Marcel Dekker, New York, 1990.

